

ECN U7 Q193

Spondyloarthritis

Jean-Marc SOBHY DANIAL

Anne MIQUEL – Marianne HODOUL

PLACE DES EXAMENS RADIOLOGIQUES

Exemple	Recommandation	Grade	Dose
Radiographie	Indiqué	B	II
Echographie	Indiqué	B	0
TDM sans injection ou avec injection	Examen spécialisé	B	III
IRM	Examen spécialisé	B	0
Scintigraphie du squelette	Examen spécialisé	B	II

IMAGERIE A VISEE DIAGNOSTIQUE

- **Signes radiologiques descriptifs**

- RACHIS

- Mise au carré des vertèbres (1)
 - Syndesmophytes (1)
 - Colonne bambou (1)
 - Œdème osseux (1)

- ENTHESITE PERIPHERIQUE (1)

- Inflammation (écho-Doppler ou IRM)
 - Erosion corticale
 - Condensation réactionnelle

- ARTICULATIONS SACRO-ILIAQUES

- Erosions des berges articulaires (5)
 - Condensation des berges (3)
 - Ankylose sacro-iliaque (2)
 - Œdème osseux (1)

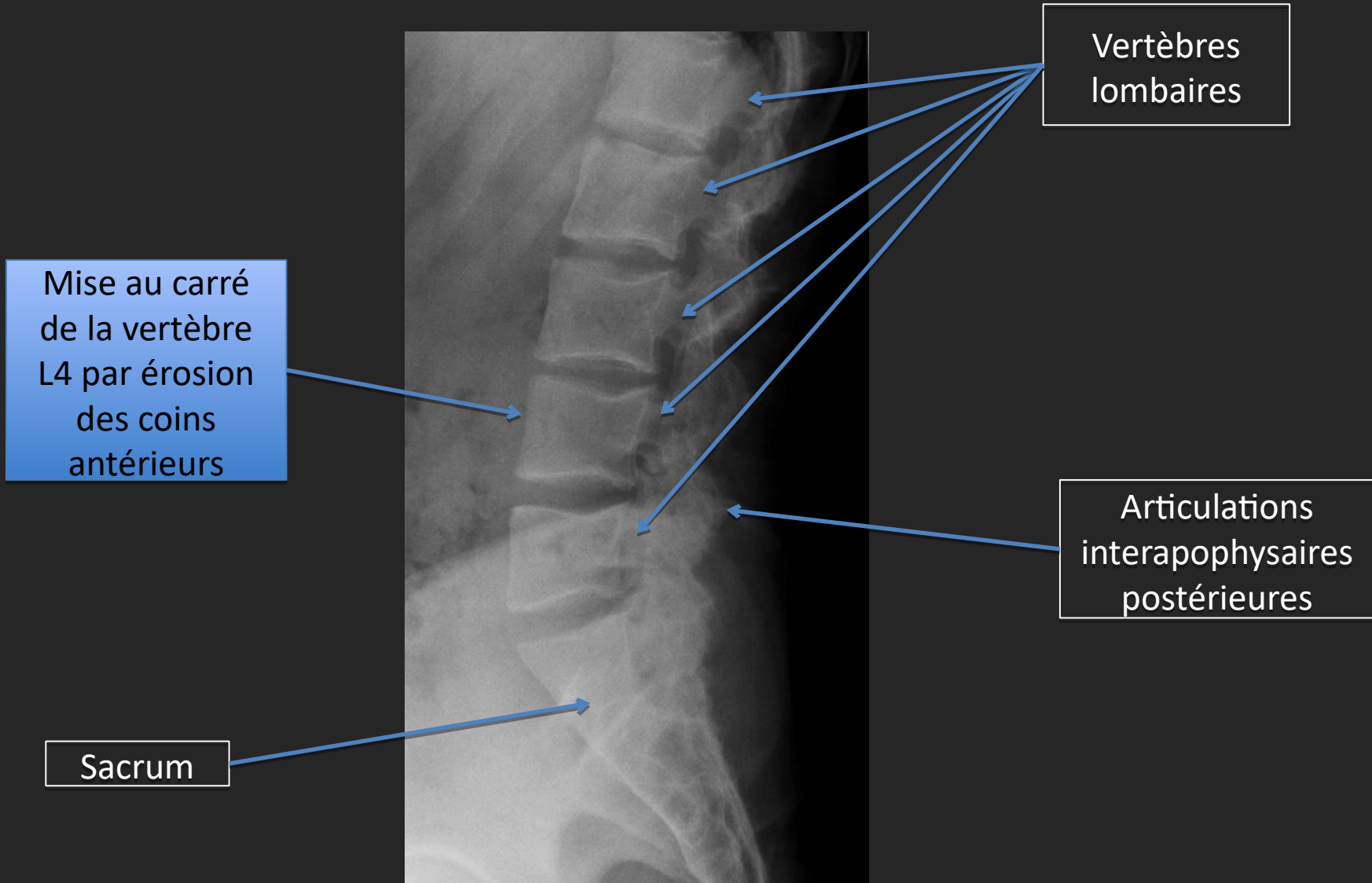
- **Complications**

- Fracture sur colonne bambou (1)

IMAGERIE A VISEE PRE THERAPEUTIQUE

- **IRM du rachis et du bassin :**
 - diagnostic précoce avant l'apparition des lésions radiologiques
 - Permet l'introduction précoce du traitement de fond

Radiographie du rachis lombaire de profil

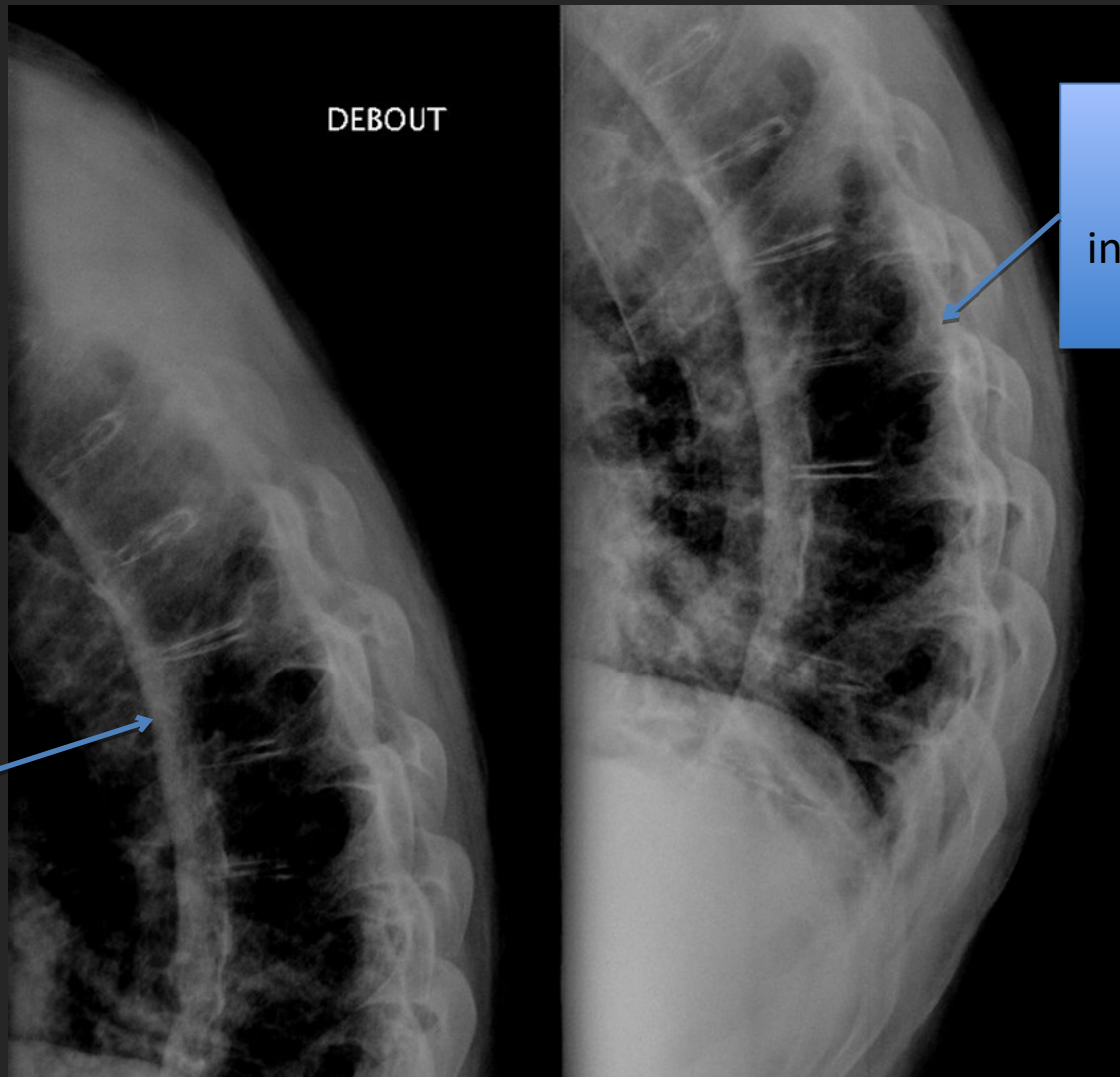


Radiographie du rachis lombaire haut de face



Syndesmophytes

Radiographie du rachis thoracique de profil



Ossification du
ligament
longitudinal
antérieur

Fusion des
articulations
interapophysaires
postérieures

→ Colonne
bambou

IRM du rachis T2 STIR en coupe sagittale

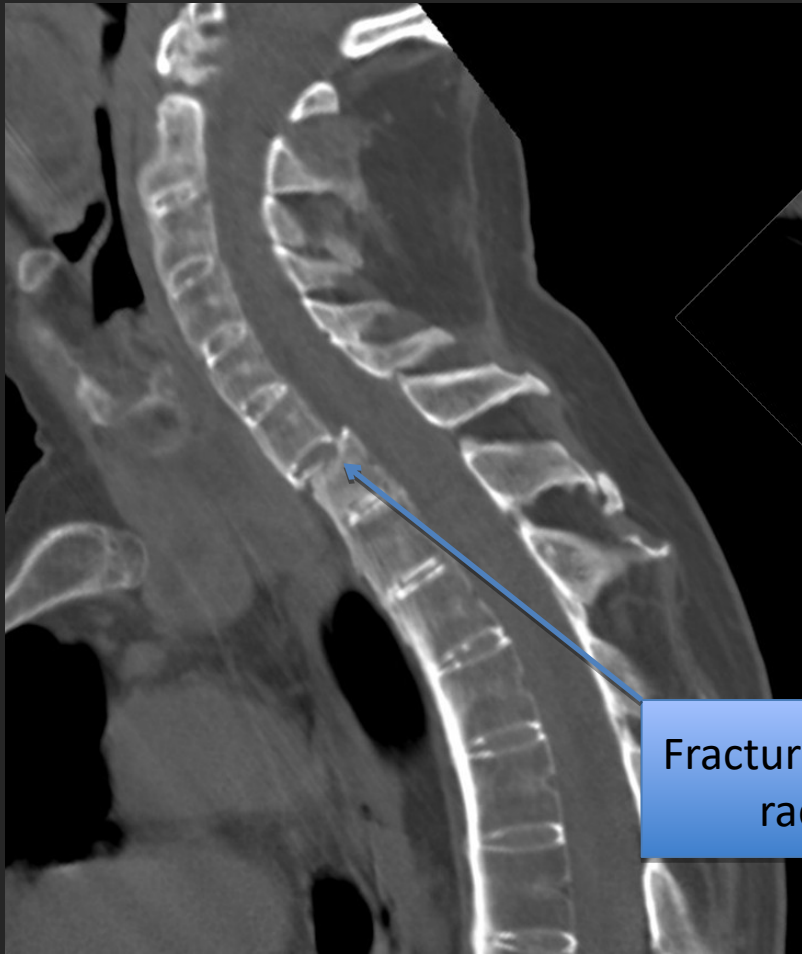
Œdème osseux
en hypersignal :
Spondylites
T8, T11, T12

Liquide
céphalo-
rachidien

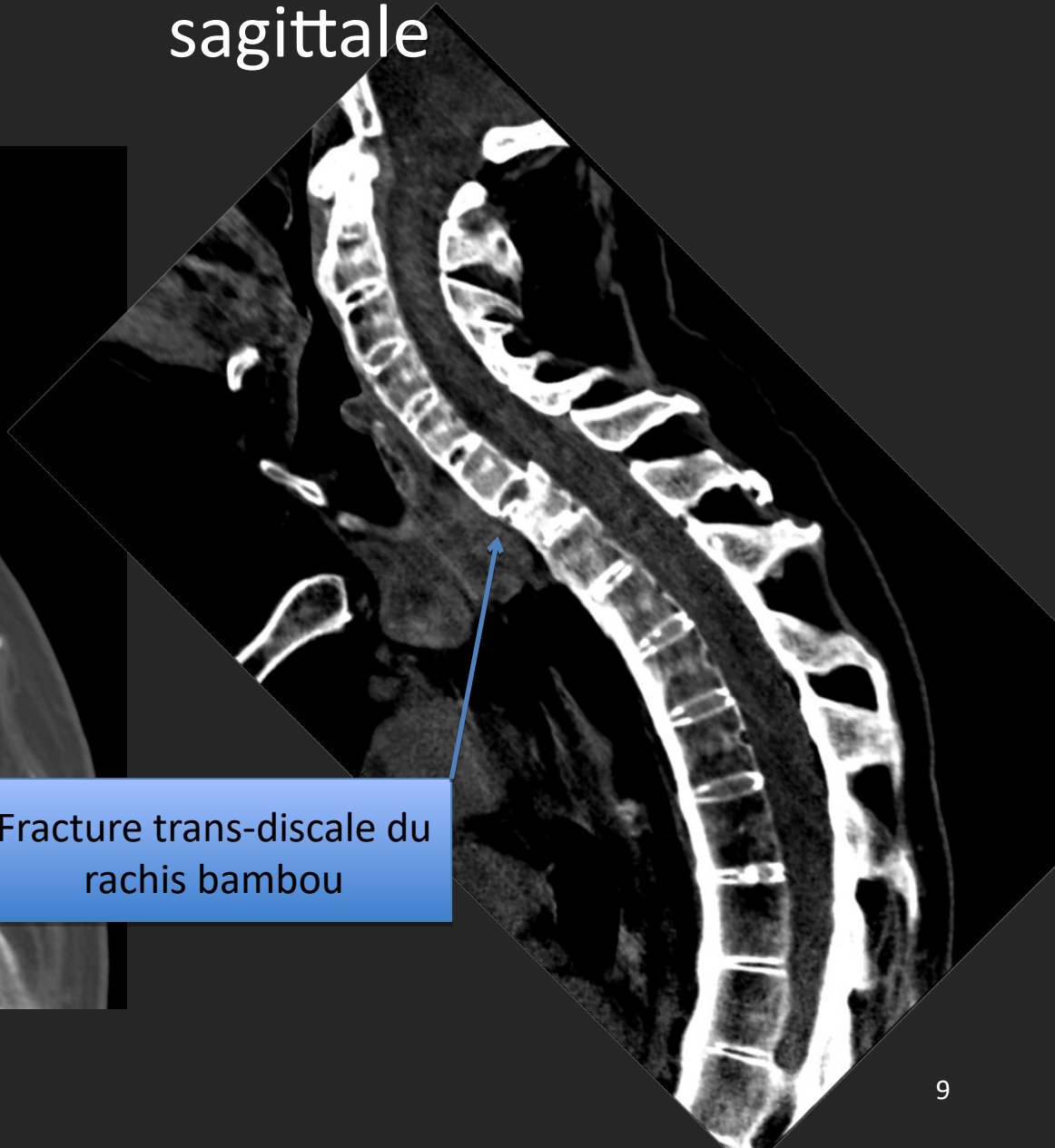
Moelle
épineière

Sacrum

TDM du rachis cervico-dorsal en coupe sagittale



Fracture trans-discale du rachis bambou



SIGNES
RADIOLOGIQUES
DESCRIPTIFS

Radiographies du bassin de face

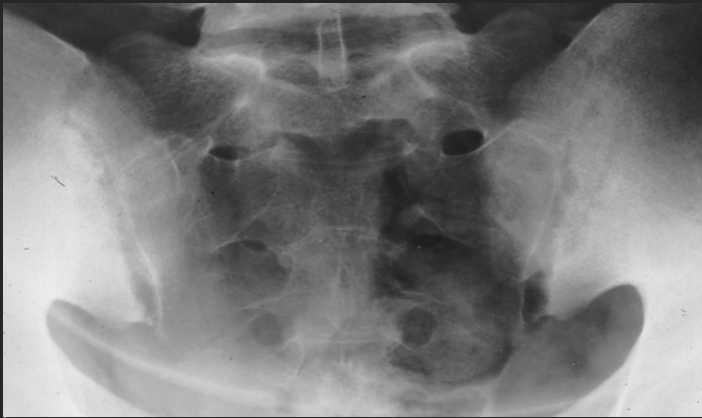


Grade 0 : aspect normal
(**Grade 1** : aspect douteux)

Sacro-iliite



Grade 2 : anomalies minimales (flou des berges, discrète condensation, interligne de largeur normale)

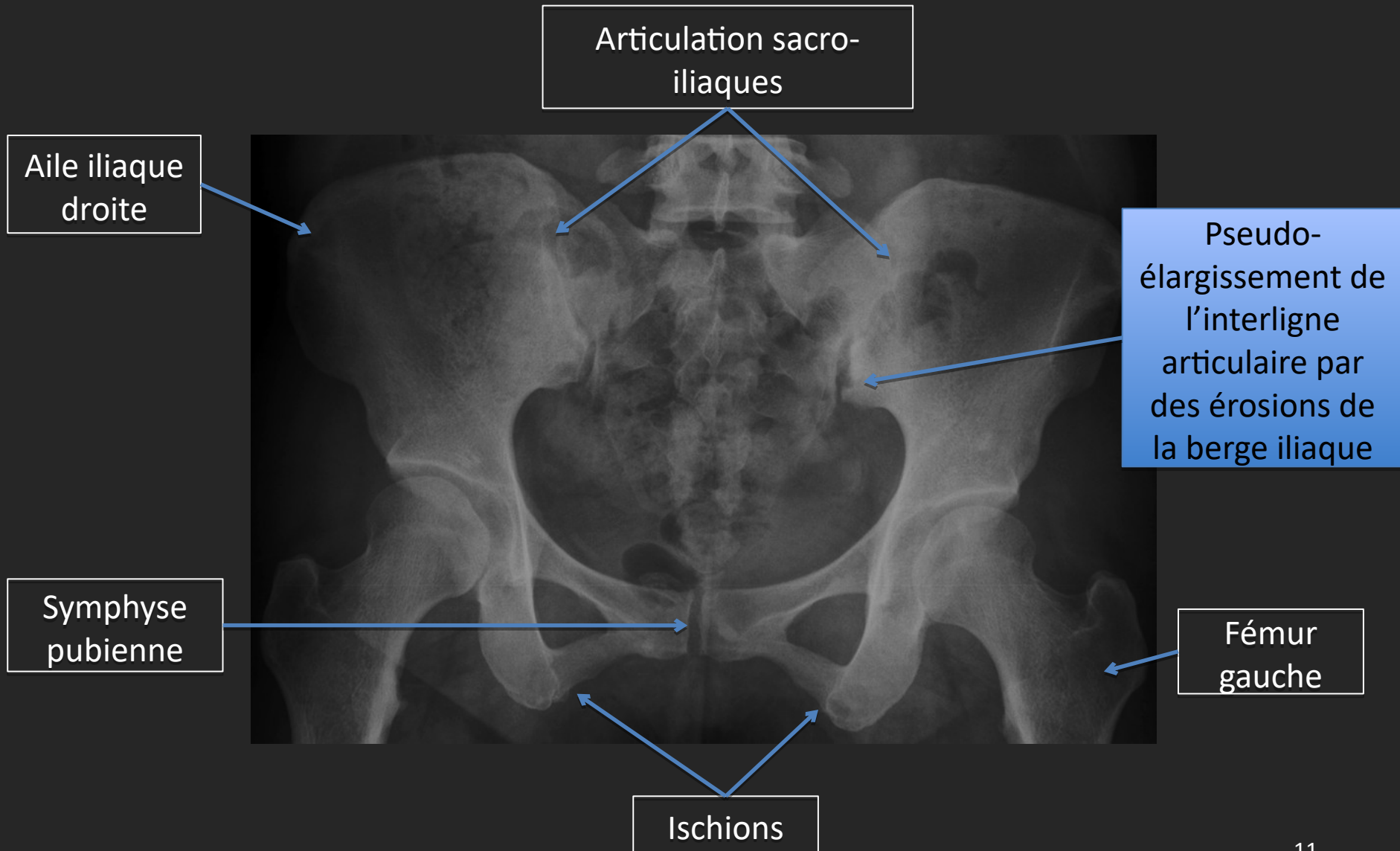


Grade 3 : anomalies évidentes (érosions, condensation, pseudo élargissement ou pincement de l'interligne)

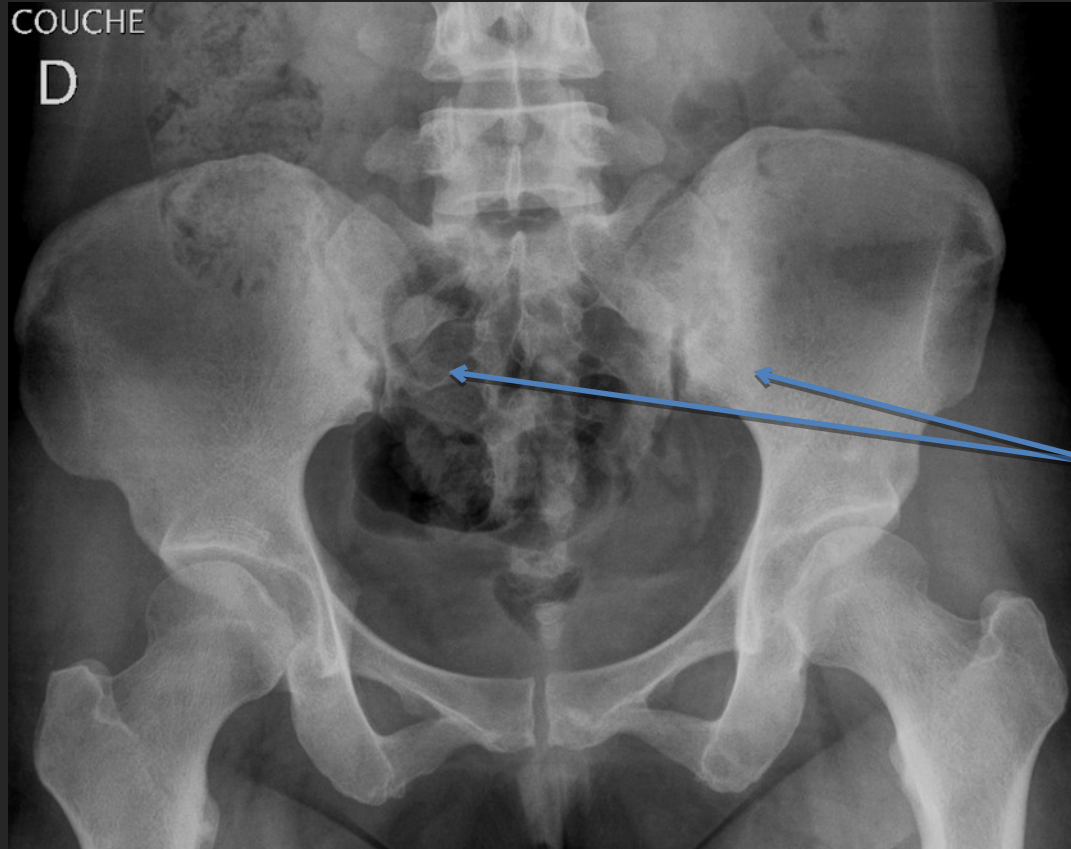


Grade 4 : disparition de l'interligne par ankylose

Radiographie du bassin de face

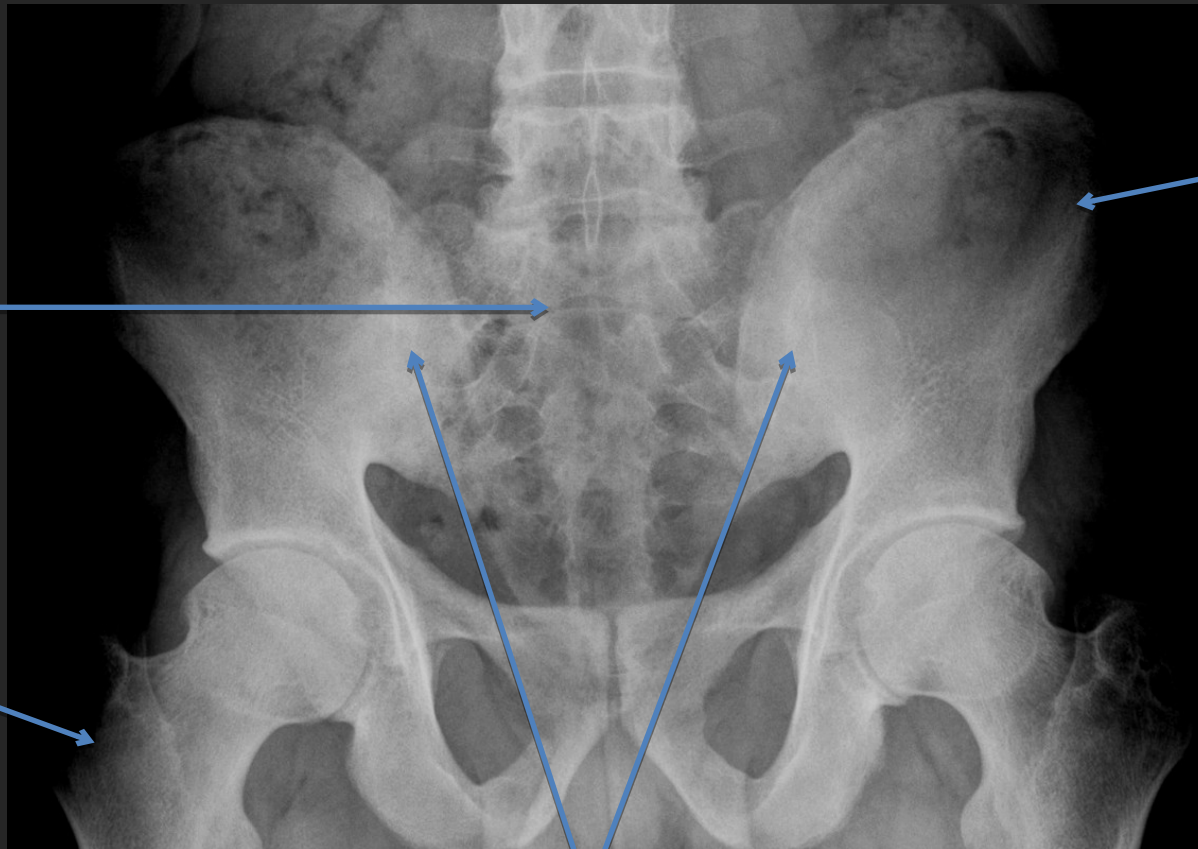


Radiographie du bassin de face 2 ans plus tard



Erosions et
ostéocondensation
bilatérales des
berges

Radiographie du bassin de face



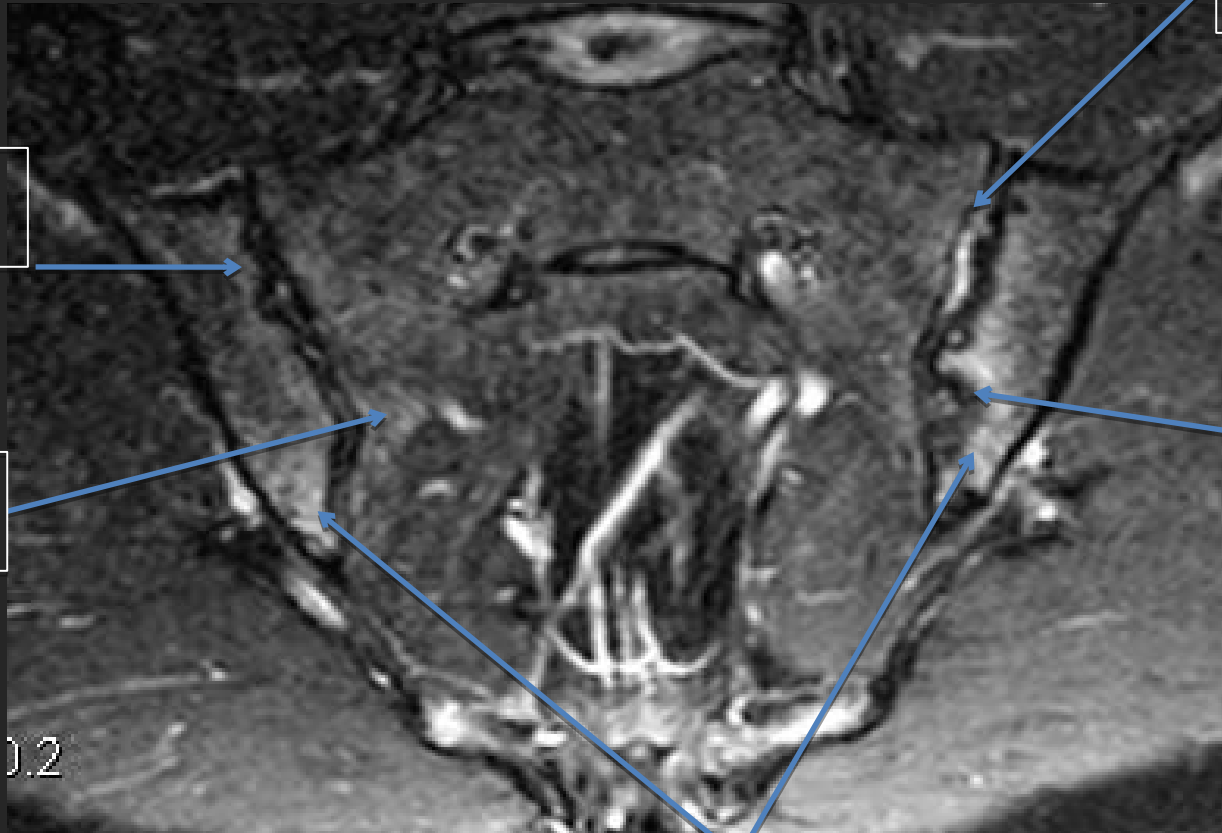
Sacrum

Aile iliaque
gauche

Fémur droit

Ankylose complète des
articulations sacro-iliaques

IRM du bassin T2 STIR en coupe coronale



Interligne
articulaire

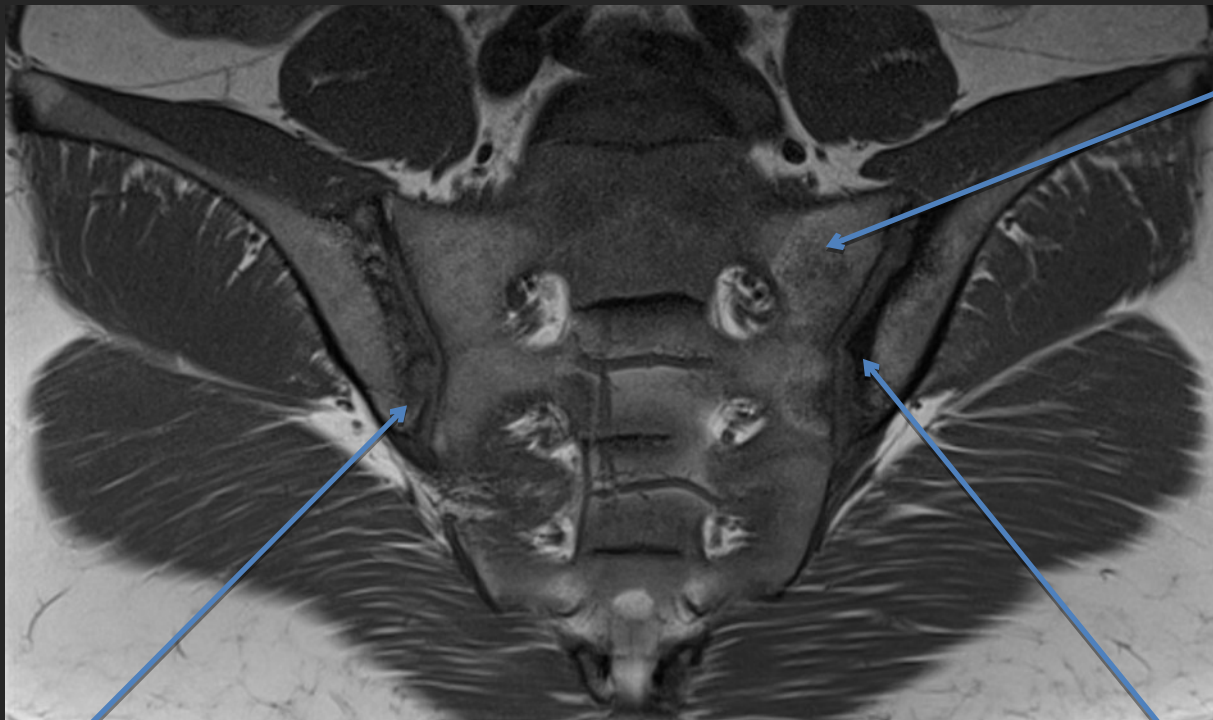
berge iliaque
droite

berge sacrée
droite

Erosion
de la
berge
iliaque
gauche

Hypersignal T2 des
berges : œdème osseux
traduisant
l'inflammation

IRM du bassin T1 en coupe coronale



Hypersignal T1 :
involution
graisseuse (stade
séquentaire d'une
poussée ancienne)

Érosion

Hyposignal T1 :
ostéocondensation

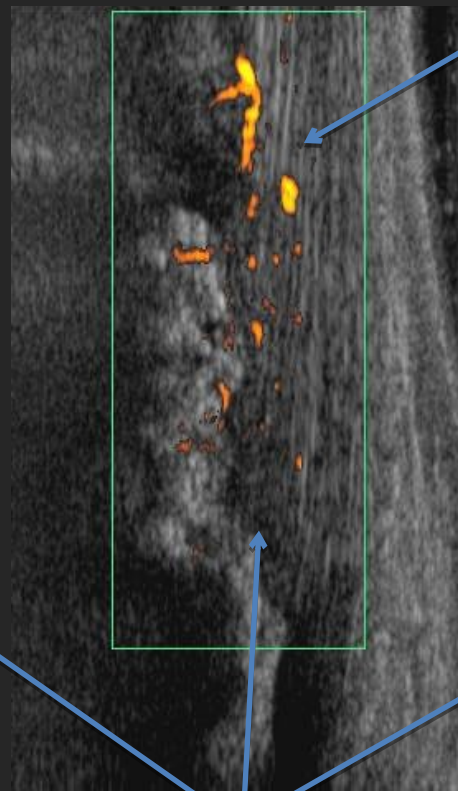
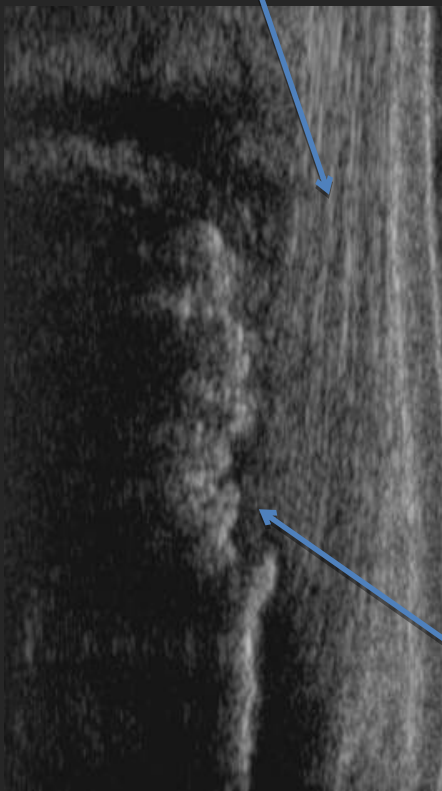
Radiographie du calcanéum

Echo-doppler du tendon calcanééen

Enthésite périphérique

Épaississement
du tendon

Hypervascularisation inflammatoire du
tendon en doppler couleur



Echographie
coupes sagittales

Erosions de l'insertion
tendineuse

Radiographie
de profil